

ASPECTOS INDUSTRIALES DEL ELECTROMAGNETISMO

TEMA 1. POLARIZACIÓN DE LA MATERIA

- Frecuencias microondas: 0.3 - 300 GHz
1000 - 1 mm
No-ionizante
Efecto termal

- Dipolo $V(\vec{r}) = \frac{\vec{\mu} \cdot \hat{r}}{4\pi\epsilon_0 r^2}$ $\left\{ \begin{array}{l} E_r = -\frac{\partial V}{\partial r} \\ E_\theta = -\frac{1}{r} \frac{\partial V}{\partial \theta} \end{array} \right.$ $\mu = qd$ $\mu \equiv \text{momento dipolar}$	- Cuadripolo $V(\vec{r}) = -\frac{1}{4\pi\epsilon_0} \frac{qd^2}{r^3} (3\cos^2\theta - 1)$
--	--

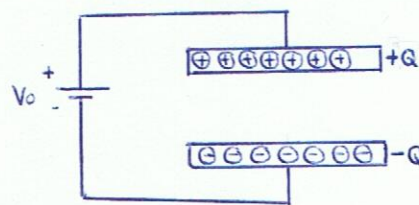
Distribución arbitraria de cargas puntuales

$V(\vec{r}) = \frac{1}{4\pi\epsilon_0} \left[\underbrace{\frac{1}{r} \sum_i q_i}_{\text{monopolar}} + \underbrace{\frac{1}{r^2} \sum_i q_i \vec{r}_i \cos\theta_i}_{\text{dipolar}} + \underbrace{\frac{1}{r^3} \sum_i \frac{q_i \vec{r}_i^2}{2} (3\cos^2\theta_i - 1)}_{\text{cuadripolar}} + \dots \right]$

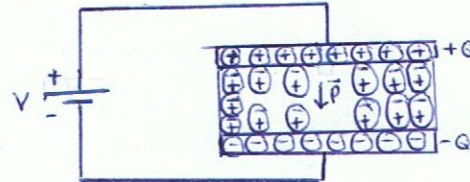
Momento dipolar de la distribución (TOTAL)
 $\vec{\mu} = \sum_i q_i \vec{r}_i = \int_V \rho(r) \cdot \vec{r} \, dv$

Concepto clásico de la permitividad

Condensador con aire



Condensador con dielectro



$$C_0 = \frac{Q}{V_0} \longrightarrow C = \frac{Q}{V} = \epsilon_r \cdot \frac{Q}{V_0}$$

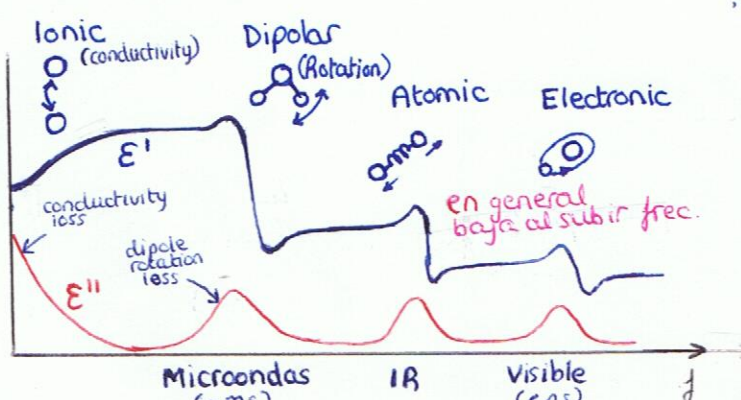
- Disminuye la tensión en bornes (aumenta la capacidad)

[El dielectro induce un campo eléctrico opuesto pero menor al aplicado]

- Es como si aumentara la capacidad de almacenar carga del condensador (para una tensión dada)

Esa "capacidad de almacenaje extra" se asocia a la permisividad del dielectro

Mecanismos de polarización y frecuencia



$$\vec{P} = \vec{P}_{\text{ionic}} + \vec{P}_{\text{dipolar}} + \vec{P}_{\text{atomic}} + \vec{P}_{\text{electronic}}$$

$$= N \langle \text{Mind} \rangle$$

promediado por unidad de volumen

momento dipolar inducido en partícula

Mind = $\alpha \cdot \text{Eloc}$
 \uparrow
 polarizabilidad de la partícula

- Distintas freq. dan info de distintas cosas
 ej medir iones \rightarrow bajas freq
 medir humedad \rightarrow microondas

- Ademas si la muestra es pequeña hay que usar long. de onda pequeña: las microondas son muy adecuadas para los tamaños industriales

$$\begin{aligned} \vec{D} &= \epsilon_0 \vec{E} + \vec{P} \\ &= \epsilon_r \epsilon_0 \vec{E} \\ &\uparrow \\ \epsilon_r &= \epsilon' - j\epsilon'' \\ &= \epsilon' - j[\epsilon'' + \frac{\omega}{\omega_r}] \end{aligned}$$

Im \rightarrow Pérdidas

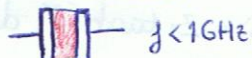
Alta $\epsilon'' \leftrightarrow$ material susceptible de ser calentado en un horno de microondas

TEMA 2 : MÉTODOS DE MEDIDA DE LAS PROPIEDADES DIELECTRICAS DE LA MATERIA

CLASIFICACIÓN DE LOS MÉTODOS DE MEDIDA

Método de las placas paralelas

- medir material en un condensador



Problemas:

- ↳ rugosidad de la superficie (huecos de aire)

↳ efecto de bordes
(campo no cte entre placas)
para $f > 1 \text{ GHz}$

Método de la sonda coaxial



Fácil de usar, poca preparación
ideal para líquidos, frec de 1 a 20GHz

Problemas → rugosidad, huecos de aire

↳ requiere materiales gruesos

↳ precisión limitada

Método espacio libre

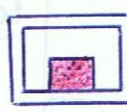


- muestras grandes o planas
- sin contacto, no destructivo y remoto

Problemas:

- ↳ Falta de precisión en los patrones de calibración
- ↳ Efecto de bordes

Cavidades resonantes

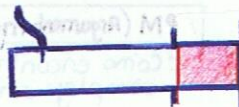


- muy preciso
- apropiado para bajas pérdidas
- medida en tiempo real

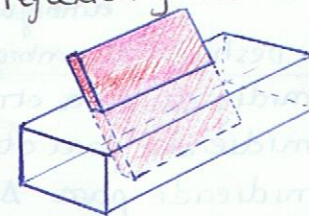
Problemas

- ↳ Requiere muestra con forma concreta
- ↳ Difícil evaluación de la precisión
- ↳ Medida sólo en UNA FRECUENCIA

Métodos basados en la reflexión



Métodos basados en reflexión y transmisión



REPASO DE GUÍAS

Guía coaxial

$$\phi(r) = V_0 \frac{\ln(r/a)}{\ln(b/a)}$$

$$\vec{E}_t = -\nabla\phi = -V_0 \frac{i}{r \ln(b/a)} \hat{r}$$

$$H_t = \frac{1}{Z_{TEM}} \times \vec{E}_t$$

$$Z_{TEM} = \gamma = \sqrt{\frac{\mu_0 \epsilon_0}{\epsilon_0 \epsilon_r}}$$

$$\gamma = j\omega \sqrt{\mu_0 \epsilon_0 \epsilon_r}$$

y modos superiores
TE y TM

Guía onda rectangular



modo fund TE01

$$k_c = \frac{\pi}{a}$$

$$\gamma_c = \frac{1}{2a\sqrt{\mu\epsilon}}$$

$$\gamma = \sqrt{k_c^2 - k_z^2}$$

$$Z_{TE} = \gamma \sqrt{1 - (\frac{k_z}{k_c})^2}$$

Guía onda circular

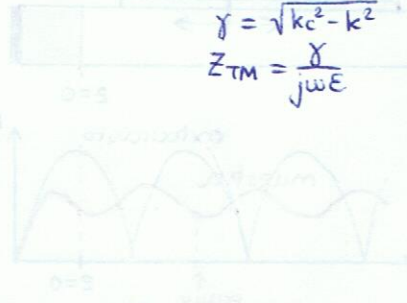
modo fund TE110

$$k_c = \frac{P_{ij}}{a} \quad (TM_{ij})$$

$$= \frac{P_{ij}}{a} \quad (TE_{ij})$$

$$\gamma = \sqrt{k_c^2 - k_z^2}$$

$$Z_{TM} = \frac{\gamma}{j\omega \epsilon}$$



Nota: modos

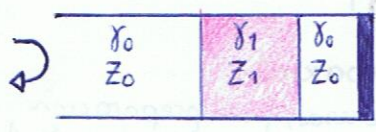
Modo TEM no dispersivo si $\epsilon \neq \epsilon(\omega)$, el medio no es dispersivo

Modos TE y TM son dispersivos por naturaleza

$$\beta = \sqrt{\omega \mu \epsilon - k_z^2}$$

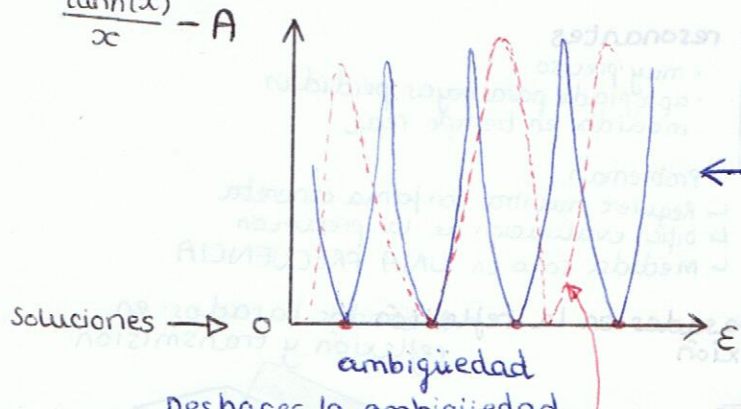
MÉTODOS BASADOS EN LA REFLEXIÓN

Medir
 S_{11}
 ΔS_{11}



$$d \quad \Delta$$

$$\frac{\tanh(x)}{x} - A$$

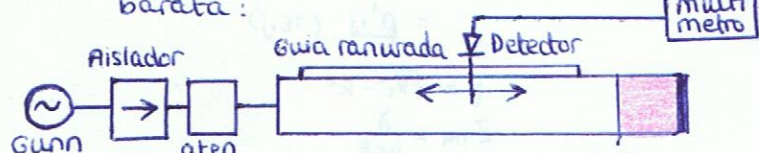


Deshacer la ambigüedad

- midiendo para dos longitudes d
- midiendo para dos frecuencias
- midiendo para $\Delta=0$ y luego para $\Delta = \pi/4$ \rightarrow c.a.
no se puede con líquidos

- No tiene mérito medir $S_{11}(z=0)$ con un analizador de redes $\rightarrow 4000 \text{ € / GHz}$

La industria necesita una solución barata:



$$r_0 = |r_0| e^{-2j\phi}$$

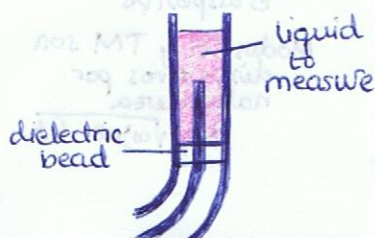
$$ROE = \frac{1 + |r_0|}{1 - |r_0|}$$

$$S_{11}(0) = r_0(0)$$

$$|r_0| = \frac{1 - ROE}{1 + ROE}$$

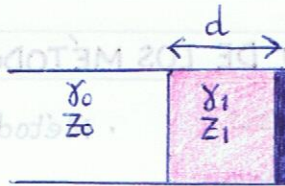
en MT abm

• celda coaxial abierta



LEMA 2 : MÉTODOS DE MEDIDA DE REFLEXIÓN

bueno para líquidos en vertical



$$Z(z=0) = Z_1 \tanh(\gamma_1 \cdot d)$$

$$S_{11}(0) = \frac{Z(0) - Z_0}{Z(0) + Z_0}$$

Se obtiene ecuación TRASCENDENTE

$$\frac{\tanh(x)}{x} = A$$

$A = \frac{1}{Z_0 d} \cdot \frac{1 + S_{11}}{1 - S_{11}}$

$x = \gamma_1 d$ medida

lo que buscamos

Ecuación TRASCENDENTE de variable COMPLEJA

infinitas soluciones \uparrow

∞^2 \uparrow

APM (Argument Principle Method) / CIM (Contour Integration Method)

cómo encontrar TODOS los ceros en el plano complejo sin dejarlos ninguno?

- Deben haber polos
- Debemos conocer $f(z)$ y $f'(z)$

⇒ Teorema de Cauchy

$$S_k = \frac{1}{2\pi j} \oint_{\Gamma} z^k \frac{f(z)}{f'(z)} dz = \sum_{n=1}^N a_n^k$$

\uparrow n° de ceros en el dom de f

para cada k ej: $S_0 = N$ (nº de ceros)

Descomponer $f(z)$ en su serie (habiéndole N ceros)

$$f(z) = z^N + a_1 z^{N-1} + a_2 z^{N-2} + \dots + a_N = 0$$

\uparrow buscamos

→ Calculo $S_0 = N$

→ Calculo S_1, S_2, \dots, S_N

→ Resuelvo el sistema

↳ Hallo TODOS los ceros sin dejarme ninguno

Problemas

→ Si Nelevado, integrar con z^N valores altísimos problemas numéricos

↳ Solución: partir dominio en subgrupos

→ Hay que evitar los polos

$$ej: f(z) = \frac{\tanh(z)}{z} - A$$

POLO EN CERO



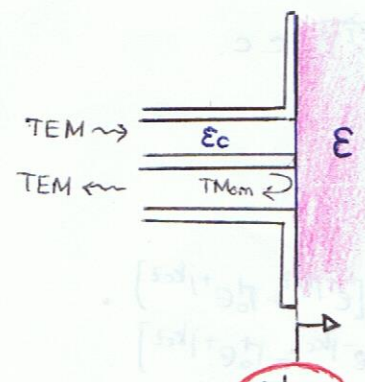
→ Cuidado si $f(z)$ contiene \sqrt{z} entonces $\text{Im}(f(z))$ tiene discontinuidades BRANCH line que hay que evitar

Método típico para hallar soluciones a las C.C. y hallar modos de una estructura



MÉTODO DE LA SONDA COAXIAL

• Modelo de MISRA (medio único e infinito)



- Nos interesa el factor de reflexión para el modo TEM
- sólo incide modo TEM (H_0 y E_r)
- se reflejan modos TEM y TM_{0m}
- H_0 y E_r tienen sin variación en θ (no se generan otros modos)

Campo en el coaxial:

$$H_0(\rho, z) = \frac{A_0}{\rho} [e^{-jkcz} (1 + e^{jkcz}) + \sum_{q=1}^{\infty} R_q(\rho) \cdot (A_q e^{-j\delta_q z} - B_q e^{+j\delta_q z})]$$

$$E_r(\rho, z) = \frac{\eta_c A_0}{\rho} [e^{-jkcz} + (1 + e^{jkcz}) + \sum_{q=1}^{\infty} R_q(\rho) \cdot Z_{TMq} (A_q e^{-j\delta_q z} + B_q e^{+j\delta_q z})]$$

lo que busco

Campo en el dielectrónico

(por antena, imágenes, etc...)

$$H_0(\rho, z) = j\omega \epsilon \int_0^b \int_0^{\pi} E_r(\rho', 0) \rho' \cos \theta' \frac{\exp(-jkR)}{R} d\rho' d\theta'$$

campo en la apertura

$$R = \sqrt{\rho^2 + \rho'^2 + (z-z')^2 - 2\rho\rho' \cos \theta'}$$

TEM

Modos Superiores TM_{0q}

Mantenemos sólo el modo TEM

simplificación MONOMODO

$$H_0(\rho', 0)$$

$$\int_{\rho=a}^b \int_0^{\pi} \int_0^{\pi} \left(\frac{A_0}{\rho'} \rho' (1 + \rho') \right) \rho' \cos \theta' \frac{\exp(-jkR)}{R} d\rho' d\theta' d\theta' = \frac{A_0}{\rho} (1 - \Gamma)$$

Integrando en $\int_{\rho=a}^b$ aparece la expresión para la admittance

$$Y_L = j\omega^2 \mu \epsilon \int_a^b \int_0^{\pi} \int_0^{\pi} \cos \theta' \frac{\exp(-jkR)}{R} d\rho' d\theta' d\theta' \Rightarrow S_{11} \text{TEM} (\Gamma_{\text{TEM}})$$

• Modelo de Blackham

Desventajas

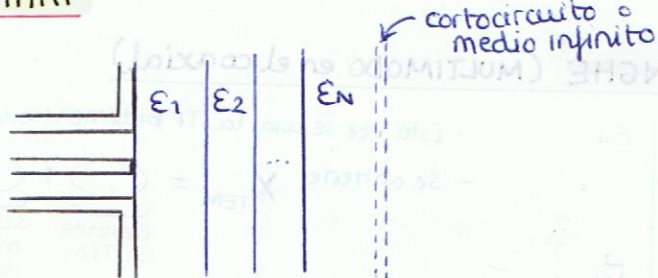
- Es monomodo
- Medio infinito

Desarrollo en serie de la función exponencial

Ventaja: La integral no depende del material a medir, sólo del coaxial.

Puedo calcular las integrales sólo una vez para el mismo coaxial (es como calibrarlo)

• Modelo de BAKHTIARI



Potencial: $\Pi_{n0}(\rho, z)$

$$\left[\frac{\partial}{\partial \rho^2} + \frac{1}{\rho} \frac{\partial}{\partial \rho} + \frac{\partial}{\partial z^2} + (kn^2 - \frac{1}{\rho^2}) \right] \Pi_{n0} = 0$$

Transformada de Hankel

$$\tilde{F}(x, z) = \int_0^\infty F(\rho, z) J_1(x\rho) d\rho$$

nueva variable (dom transf.)

$$\left[\frac{\partial}{\partial z^2} + k_{zn}^2 \right] \tilde{\Pi}_{n0}(x, z) = 0 \quad kn > 0 \quad Im \leq 0$$

$$\tilde{\Pi}_{n0}(x, z) = A_n^+(x) e^{-ik_{zn}z} + A_n^-(x) e^{+ik_{zn}z}$$

Campo en las N capas (sólo modos $TM_{0n} \Leftrightarrow H_0$)

$$E_r(\rho, z) = -\frac{1}{\epsilon_n} \frac{\partial \Pi_{n0}}{\partial z}$$

$$H_0(\rho, z) = j\omega \Pi_{n0}$$

T. Hankel

$$E_r(x, z) = \frac{jk_{zn}}{\epsilon_n} A^+(x) [e^{-ik_{zn}z} - \Gamma_n(x) e^{+ik_{zn}z}]$$

$$H_0(x, z) = j\omega A^+(x) [e^{-ik_{zn}z} + \Gamma_n(x) e^{+ik_{zn}z}]$$

coef de reflexión en cada capa

- Aplicando las C.C. en los interfaces se obtiene:

$$\Gamma_n(x) = \text{fórmula grande} = f(E_n, \Gamma_{n+1}(x)) \quad \begin{array}{l} \text{cada coef de reflexión} \\ \text{depende del de la capa siguiente} \end{array}$$

conocida la última capa $\Gamma_N(x) = \begin{cases} 0 & \text{abierto} \\ e^{-j2k_0 z_N} \sqrt{E_N - (\frac{x}{k_0})^2} & \text{c.c.} \end{cases}$

Así podemos llegar hasta $\Gamma_1(x)$ y conocer los campos en la 1^a capa

campos en el coaxial

Bakhtiar considera sólo TEM (aproximación modo)

Transformada de Hankel

$$E_p(p, z) = \frac{A_0}{p} \eta_c [e^{-jk_0 z} + R_0 e^{jk_0 z}] \Rightarrow \tilde{E}_p(x, z) = -A_0 \eta_c \frac{J_0(X \cdot b) - J_0(X \cdot a)}{X} [e^{-jk_0 z} + R_0 e^{jk_0 z}]$$

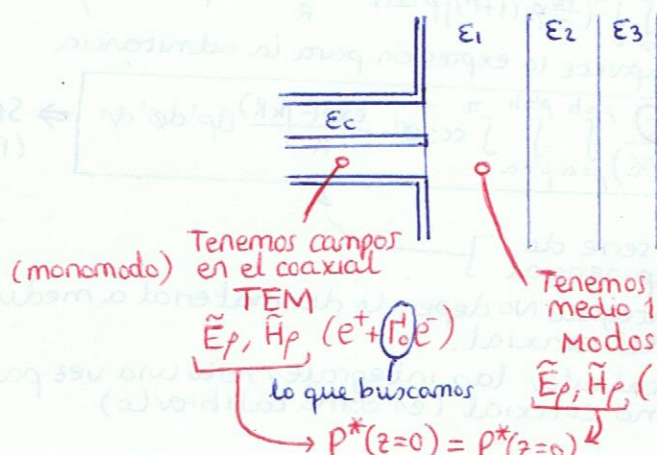
$$H_\phi(p, z) = \frac{A_0}{p} [e^{-jk_0 z} - R_0 e^{jk_0 z}] \Rightarrow \tilde{H}_\phi(x, z) = -A_0 \frac{J_0(X \cdot b) - J_0(X \cdot a)}{X} [e^{-jk_0 z} - R_0 e^{jk_0 z}]$$

cálculo de la potencia en el dominio transformado

$$P^* = \frac{1}{2} \iint_S \tilde{E}^*(p, z) \cdot \tilde{H}(p, z) \cdot \hat{z} \cdot p dp d\phi \xrightarrow{\text{Teorema de Párvaval}} P^* = \pi \int_{x=0}^{\infty} \tilde{E}_p(x, z) \cdot \tilde{H}_\phi(x, z) \cdot X \cdot dx$$

Igualando campos y potencias en $z=0$

Al igualar, finalmente se despeja el valor de la admittance de entrada (carga en la guía)



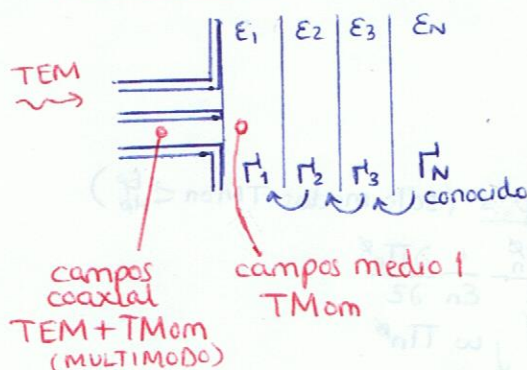
$$\frac{Y_L}{Y_C} = \frac{E_1}{\sqrt{\epsilon_r} E_C} \frac{1}{\ln(b/a)} \int_{\xi=0}^{\infty} \frac{|J_0(\xi k_0 b) - J_0(\xi k_0 a)|^2}{\xi} F(\xi) d\xi$$

$$F(\xi) = \frac{1}{\sqrt{\epsilon_r - \xi^2}} \cdot \frac{1 + R_1}{1 - R_1}$$

$R_1 = 0$ en el caso monocapa semiinfinito (como Blackman)

da mismos resultados

Modelo de DE LANGHE (MULTIMODO en el coaxial)



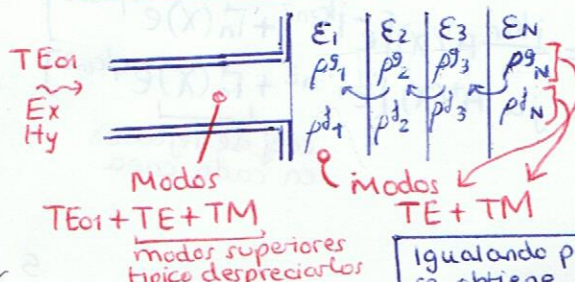
- Esta vez se usa la TF bidimensional (k_x, k_y)

$$- Se obtiene Y_{TEM} = \underbrace{\dots}_{\text{depende de TEM}} + \underbrace{\dots}_{\text{depende de modos TM reflejados}}$$

otros modos TMom
 Afectan a la admittance del modo TEM

• Despreciando este término se llega a la ecuación de BAKHTIARI
 • Si además consideramos único medio $R_1 = 0$ se llega a la de MISRA / BLACKHAM

Lo mismo en GUIA DE ONDAS RECTANGULAR



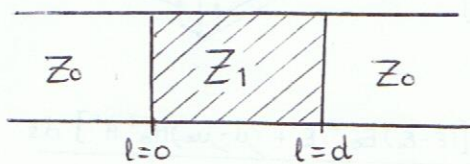
- se usa TF bidim (k_x, k_y)
 - Campos en dielectrjos se calculan con el potencial $\tilde{H}_z(k_x, k_y, z) = A^+(k_x, k_y) e^{-jk_x z} + A^-(k_x, k_y) e^{jk_x z}$
 - Los campos TE y TM tienen distintos coeficientes de reflexión, pero se calculan igual recursivamente desde el último (en abierto $R_N^+ = R_N^- = 0$)
 (en PE o PM $R_N^+ \neq R_N^-$)

Igualando potencias se obtiene \bar{Y}_L → expresión brutal

MÉTODOS BASADOS EN TRANSMISIÓN Y REFLEXIÓN

Analiz
Redes

Guía rellena con material



medidos en plano del material

$$[S] = \begin{bmatrix} S_{11} & S_{21} \\ S_{12} & S_{22} \end{bmatrix} \leftrightarrow [T] = \begin{bmatrix} T_{11} & T_{21} \\ T_{12} & T_{22} \end{bmatrix}$$

Parámetros S
(módulo y fase)

$$[T] = \begin{bmatrix} T_{11} & T_{21} \\ T_{12} & T_{22} \end{bmatrix}$$

Parámetros T
(útiles para cuadripolos en cascada)

$$\begin{aligned} R &= K \pm \sqrt{K^2 - 1} \\ T &= \frac{(S_{11} + S_{21}) - R}{1 - (S_{11} + S_{21})R} \\ \text{siendo } K &= \frac{(S_{11}^2 - S_{22}^2) + i}{2S_{11}} \end{aligned}$$

$$\left\{ R = \frac{Z_1 - Z_0}{Z_1 + Z_0}, T = e^{-\gamma d} \right\} \leftrightarrow \{Z_1, \gamma\}$$

Método NRW

sólo para modos TEM y TE
no para TM

$$\begin{aligned} \mu_r &= \frac{1 + R}{\lambda(1 - R)} \cdot \sqrt{\frac{1}{\lambda_s^2} - \frac{1}{\lambda_c^2}} \\ \epsilon_r &= \frac{\lambda^2 (\frac{1}{\lambda_s^2} + \frac{1}{\lambda_c^2})}{\mu_r} \end{aligned}$$

siendo

$$\frac{1}{\lambda^2} = - \left[\frac{1}{2\pi d} \ln\left(\frac{1}{T}\right) \right]^2$$

$$\ln\left(\frac{1}{T}\right) = \ln\left|\frac{1}{T}\right| + j(4\left(\frac{1}{T}\right) + 2\pi n)$$

↑ complejo

AMBIGÜO

$$\{\mu_r, \epsilon_r\}$$

Resolución de la indeterminación

• Retardo de grupo:

$$\text{medido: } \tau_g = \frac{1}{2\pi} \frac{d(-\Delta T)}{dT}$$

teórico para índice n

$$\begin{aligned} \tau_{gn} &= \begin{cases} f(\epsilon_r, \mu_r, \lambda_0) & \text{TEM} \\ f_2(\epsilon_r, \mu_r, \lambda_0, \lambda_c) & \text{TE}_{10} \end{cases} \\ &= d \cdot \frac{1}{2\pi} \frac{d\beta}{d\omega} \end{aligned}$$

• Comparar $\tau_g \approx \tau_{gn}$ para cada n

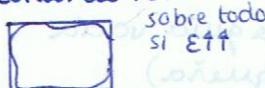
• En la práctica da problemas por poca resolución al medir S.

solución: se abusa de la teoría

se usa una sola medida y se comparan los resultados

Guías completamente
rellenas:

La impedancia varía
muchísimo si quedar
huecos de aire en
las zonas de $|E|^2 \uparrow \downarrow$



Ecuaciones sencillas
a costa de dificultad
en el montaje



Tramo de
guía
relleno



material
cuidadosamente
cortado para
llenar coaxial

Problemas cuando la
long. del material
es $n \cdot \frac{\lambda}{2}$

Solución: guías parcialmente
rellenas

Método iterativo de Bakert-Jarvis

Ponderar los parámetros de tx frente a los de rx mediante
el parámetro β

usamos $\beta \uparrow \uparrow$ si material tx poco y refleja mucho

$\beta \uparrow \uparrow$ si material rx poco y tx mucho

mejora
la
medida

$$\frac{1}{2}((S_{12} + S_{21}) + \beta(S_{11} + S_{22})) = \frac{\tau(1 - R^2) + \beta\tau(1 - T^2)}{1 - \tau^2\beta^2}$$

Al ser sólo una ecuación, se obtiene sólo ϵ_r suponiendo $\mu_r = 1$

Proceso de minimización iterativo
(punto de partida NRW)

material
NO MAGNÉTICO

Método de las 3 posiciones

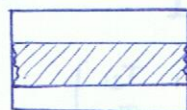
Material NO MAGNÉTICO

Medir parámetros [S] en 3 posiciones distintas

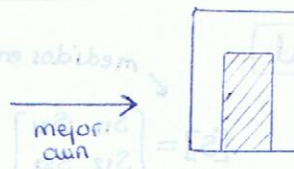
Es una especie de minimización del problema con
3 medidas → más precisión. Mucha matemática

• Guía parcialmente rellena

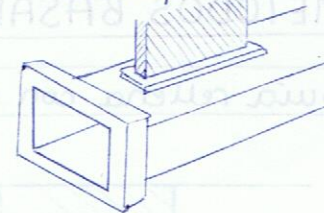
ej:



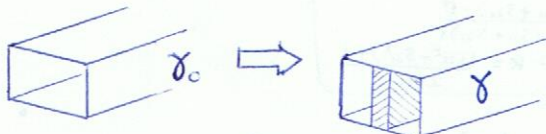
bueno ya que los huecos de aire aparecen en la zona de campo nula



Montaje



• Teoría perturbacional



$$\{\delta, \beta\} \leftrightarrow \{b_f, b_i\}$$

$$(\gamma - \gamma_0) = \frac{j \omega \int_{\text{AS}} [(\epsilon - \epsilon_0) E_0^* \cdot E' + (\mu - \mu_0) H_0^* \cdot H']] \cdot ds}{\int_s (E_0^* \times H' - H_0^* \times E') \cdot ds}$$

parte real e imaginaria

$$\left\{ \begin{array}{l} (\alpha - \alpha_0) = \epsilon_0 \epsilon'' \frac{\omega \int_{\text{AS}} E_0^* \cdot E' ds}{2 \int_s (E_0^* \times H_0') ds} \\ (\beta - \beta_0) = \epsilon_0 (\epsilon' - 1) \frac{\omega \cdot \int_{\text{AS}} E_0^* \cdot E' ds}{2 \int_s (E_0^* \times H_0') ds} \end{array} \right.$$

denominador analítico
(solo depende de la guía y el modo)

$$\left\{ \begin{array}{l} (\alpha - \alpha_0) = \epsilon'' \sqrt{\mu_0 \epsilon_0} \frac{\omega}{ab} \frac{1}{\sqrt{1 - (\frac{c}{a})^2}} \int_{\text{AS}} \frac{E_0^* \cdot E'}{E_{0,\max}^{1/2}} ds \\ (\beta - \beta_0) = (\epsilon' - 1) \sqrt{\mu_0 \epsilon_0} \frac{\omega}{ab} \frac{1}{\sqrt{1 - (\frac{c}{a})^2}} \int_{\text{AS}} \frac{E_0^* \cdot E'}{E_{0,\max}^{1/2}} ds \end{array} \right.$$

factor de forma de la muestra

$\left[\frac{hc}{2} - \frac{ha}{2\pi} \cos\left(\frac{2\pi}{a}x\right) \sin\left(\frac{\pi c}{a}\right) \right]$

Medir α y β

despejar ϵ' y ϵ''
expresión muy sencilla

¿cómo de fidedigna es la T^a perturbacional?

se puede partir de guía vacía y llenar con dielectrónico o partir de guía rellena y llenar con aire.

— respuesta teórica

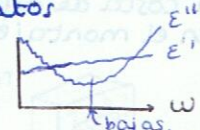
--- T^a perturbacional partiendo de guía rellena
(bueno para muestra grande)

--- T^a perturbacional partiendo de guía vacía
(bueno para muestra pequeña)

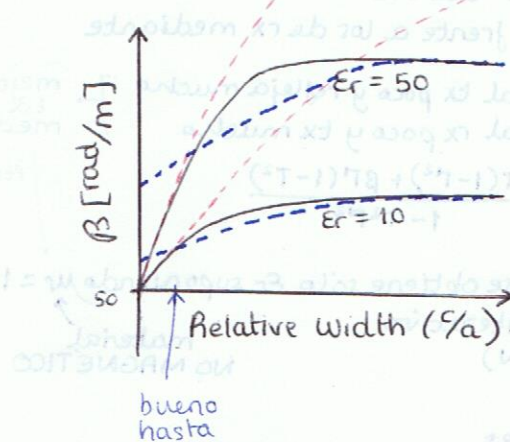
→ Funciona muy bien en muestras muy finas

- muy apropiado para medir substratos
- se mide $\epsilon(w) = \epsilon'(w) - j\epsilon''(w)$

a altas
frecuencias

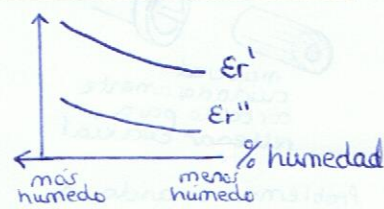


- muy apropiado para medir humedad
(ej. pieles secándose)



• Solución analítica completa

- considerar ciertos modos
- potencial vector en cada una de las 3 zonas
- condiciones de contorno
- simplificación monomodo



MÉTODOS EN CAVIDADES RESONANTES

(> 90% de los métodos en la industria)

Frecuencia de resonancia compleja (cajón con pérdidas)

$$\text{Energía en la caja} \quad U_T(t) = U_0 e^{-\frac{\omega_0}{Q} t} \quad \left. \begin{array}{l} \text{atén.} \\ \text{Pot. disipada } P_L = -\frac{\partial U_T}{\partial t} \end{array} \right\} Q = \omega_0 \frac{U_T}{P_L}$$

$$\text{Señal (tensión, campo eléctrico, ...)} \quad v(t) = V_0 e^{-\frac{\omega_0}{2Q} t} \cos(\omega_0 t) \quad \begin{array}{l} \text{tensión} \propto \sqrt{P_L} \\ \text{fase} \end{array} \rightarrow e^{j(\omega_0(1 + j \cdot \frac{1}{2Q})) t}$$

Teoría perturbacional en cajones

Perturbación de material

$$\frac{\omega - \omega_0}{\omega} = - \frac{\iiint_V (\delta\epsilon \cdot \vec{E}_0^* \cdot \vec{E} + \delta\mu \cdot \vec{H}_0^* \cdot \vec{H}) \cdot dV}{\iiint_V (\epsilon \cdot \vec{E}_0^* \cdot \vec{E} + \mu \cdot \vec{H}_0^* \cdot \vec{H}) \cdot dV} \Rightarrow \frac{\omega - \omega_0}{\omega_0} \approx - \frac{\iiint_V (\delta\epsilon \cdot |\vec{E}_0|^2 + \delta\mu \cdot |\vec{H}_0|^2) \cdot dV}{\iiint_V (\epsilon \cdot |\vec{E}_0|^2 + \mu \cdot |\vec{H}_0|^2) \cdot dV}$$

Perturbación de forma

$$\frac{\omega - \omega_0}{\omega} = - \frac{\iiint_V (\epsilon \cdot \vec{E}_0^* \cdot \vec{E} - \mu \cdot \vec{H}_0^* \cdot \vec{H}) \cdot dV}{\iiint_V (\epsilon \cdot \vec{E}_0^* \cdot \vec{E} + \mu \cdot \vec{H}_0^* \cdot \vec{H}) \cdot dV} \Rightarrow \frac{\omega - \omega_0}{\omega_0} \approx - \frac{\iiint_V (\epsilon \cdot |\vec{E}_0|^2 - \mu \cdot |\vec{H}_0|^2) \cdot dV}{\iiint_V (\epsilon \cdot |\vec{E}_0|^2 + \mu \cdot |\vec{H}_0|^2) \cdot dV}$$

Calidad de una caja

El factor de calidad Q depende de la energía almacenada y disipada (y por tanto del modo) (típicamente depende de la cantidad de campo en las paredes).

Podemos conseguir misma Q con caja en TE₁₀₁ de oro que con caja TE₀₁₂ (de alto Q) de metal malo.

Inserción de dielectrónico en la caja → cambia frec de resonancia compleja

$$\frac{\omega - \omega_0}{\omega} \approx - \frac{\int_{\Delta V} [(\epsilon - \epsilon_0)|E_0|^2 + (\mu - \mu_0)|H_0|^2] dV}{\int_{\Delta V} [\epsilon_0 |E_0|^2 + \mu_0 |H_0|^2] dV} \quad \begin{array}{l} \text{Av} \\ (\epsilon, \mu) \end{array} \quad \begin{array}{l} \text{Caja vacía} \\ (\epsilon_0, \mu_0) \end{array}$$

↓
freq. reson. compleja

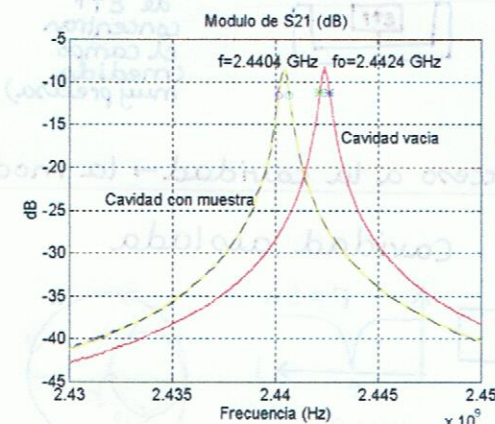
- Se mide ω compleja (ω_{res} y Q)
- Se despeja ϵ' y ϵ'' (tomando $\mu=1$)

$$\epsilon' = 1 + \frac{(\omega_0 - \omega)}{\omega} \cdot 2 \frac{\int_{\Delta V} \frac{|E_0|^2}{|E_{\text{max}}|^2} dV}{\int_{\Delta V} \frac{E_0^* \cdot E}{|E_{\text{max}}|^2} dV}$$

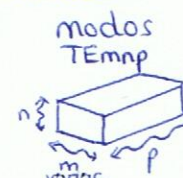
$$\epsilon'' = \left(\frac{1}{Q} - \frac{1}{Q_0} \right) \cdot \frac{\int_{\Delta V} \frac{|E_0|^2}{|E_{\text{max}}|^2} dV}{\int_{\Delta V} \frac{E_0^* \cdot E}{|E_{\text{max}}|^2} dV}$$

Factor de forma de la muestra (usar formas simples!)

Al final salen expresiones analíticas muy sencillas ej TM₀₁₀ $\epsilon' = 1 + \frac{\omega_0 - \omega / 0.5390 \text{ V}}{\Delta V}$
 $\epsilon'' = \left(\frac{1}{Q} - \frac{1}{Q_0} \right) \left(\frac{0.2695 \text{ V}}{\Delta V} \right)$



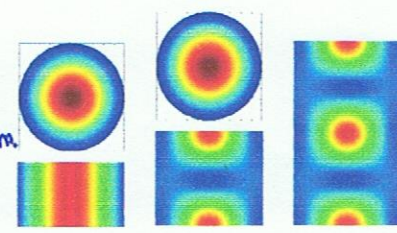
Factor de forma de la caja F_c
 - depende de la guía y del modo



existen TM con $p=0$ (sin variación) en z
 no existen TE con $p=0$

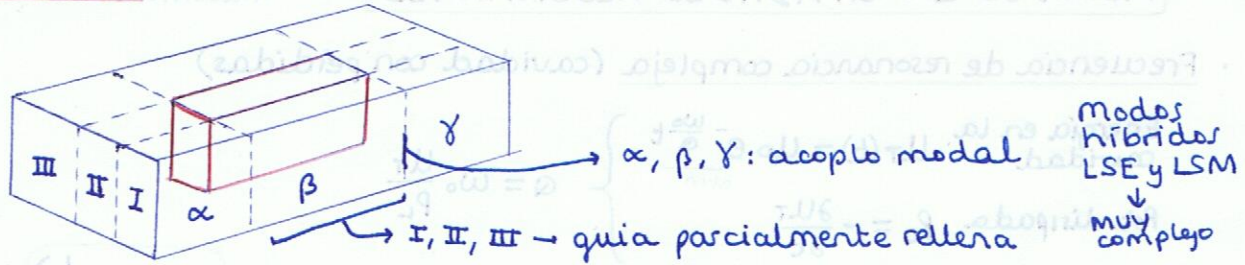
$$\text{TE}_{10p} \Rightarrow F_c = \frac{V}{4}$$

$$\text{TM}_{010} \Rightarrow F_c = 0.2695 \text{ V}$$

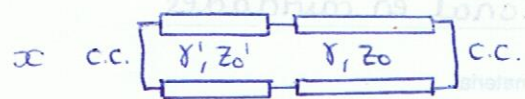
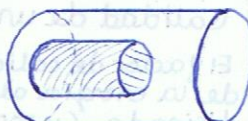


resuena a la freq. de corte $f_{\text{RES}} = f_{\text{TM010}}$

Solución exacta:



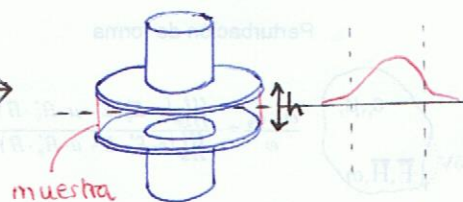
Método de la resonancia transversal



$$\text{Resonancia } Y_1 \cdot Y_2 = 1$$

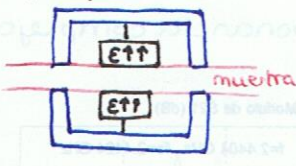
perfil modal

TE_{0np}
↑↑
no hay Ez



Conviene limitar h
para no cambiar
demasiado el modo

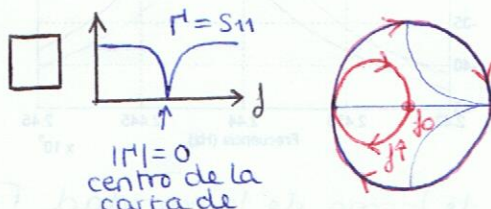
Split-post resonator



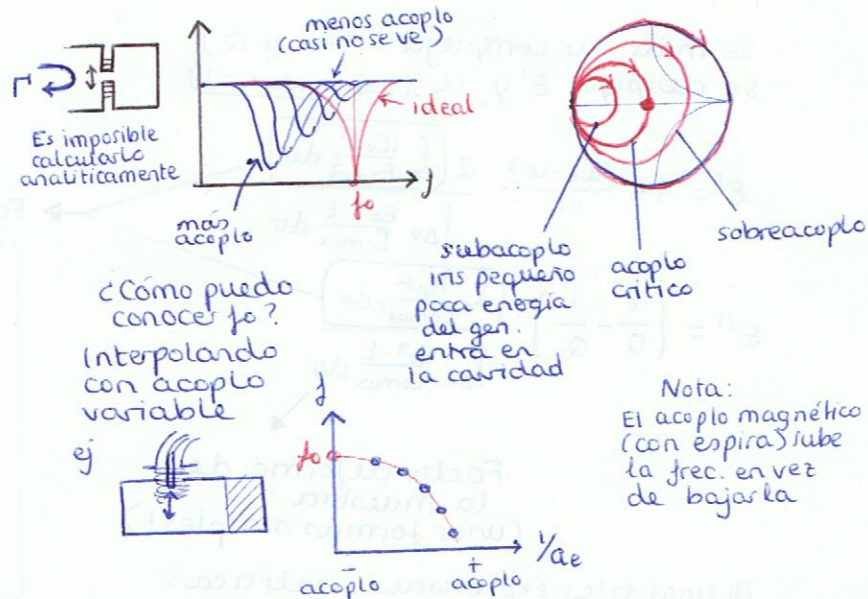
Resonadores
dieléctricos
de E↑↑
concentran
el campo
(medida
muy precisa)

Acceso a la cavidad → la modificación

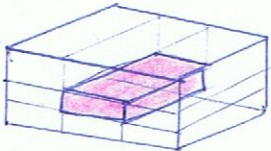
Cavidad aislada



Cavidad alimentada con un iris

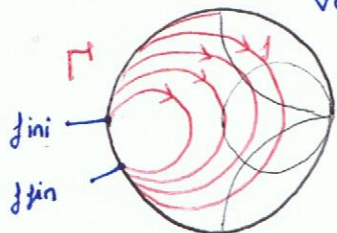


Cavidad parcialmente rellena



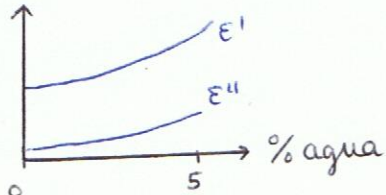
- T^a perturbacional
- Método de la resonancia transversal
- cálculo exacto (requiere modos híbridos LSE_x and LSM_x)

$$\Gamma(f, \epsilon)$$



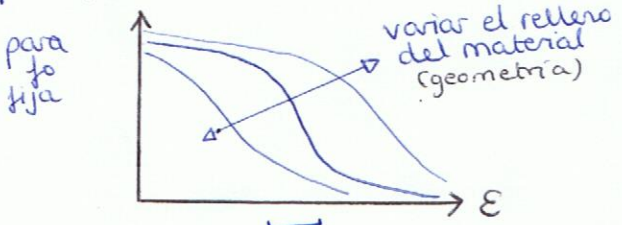
- variando ϵ cambia $\Gamma = S_{11}$
¿qué parámetro mide?
- La fase
 - El módulo
 - La freq.res

ejemplo: deterioro de un líquido (suelas) al absorber humedad



Eligiremos el parámetro más sensible (el que presente más variación con ϵ)

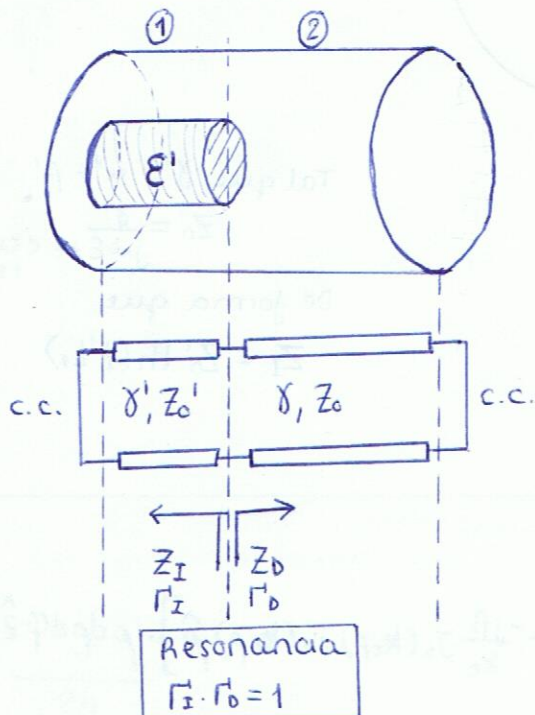
$$\text{ejemplo: } \Delta \Gamma = \Delta S_{11}(f_0)$$



elegeré la geometría que proporcione la mayor sensibilidad en la zona de ϵ que quiero medir

Si tenemos que diseñar un umbral de alarma, conviene que el parámetro a medir tenga un cambio brusco justo en el umbral

• CÁLCULO DE LA FRECUENCIA DE RESONANCIA DE UNA CAVIDAD
MEDIANTE EL MÉTODO DE LA RESONANCIA TRANSVERSAL



Modo TM₀₁₀

- Campos electromagnéticos:

$$E_z = A \cdot J_0(k_c p)$$

$$E_p = 0$$

$$E_\varphi = 0$$

$$H_z = 0$$

$$H_p = 0$$

$$H_\varphi = -A \frac{j\omega\epsilon}{k_c} \underbrace{J_0'(k_c p)}_{= J_1(k_c p)}$$

Recuerda:

$$c = 299\ 792\ 458 \text{ m/s}$$

$$\mu_0 = 4\pi \cdot 10^{-7} \text{ N/A}^2$$

$$\epsilon_0 = 1/\mu_0 c^2$$

• Sección sin dielectrónico



Guía circular
Modo TM₀₁

$$E_z = A \cdot J_0(k_c p) e^{-j\beta z}$$

$$H_\varphi = A \frac{j\omega\epsilon}{k_c} J_1(k_c p) e^{-j\beta z}$$

$$E_p = A \frac{j\beta}{k_c} J_1(k_c p) e^{-j\beta z}$$



$$\left. \begin{aligned} k_c &= \frac{p_{01}}{a} = \frac{2405}{a} \\ \gamma &= \sqrt{k_c^2 - k^2} \quad \left\{ \begin{array}{l} \alpha = 0 \\ \beta = \sqrt{k^2 - k_c^2} \\ = \sqrt{\omega^2 \mu \epsilon - (p_{01}/a)^2} \end{array} \right. \\ Z_{0TM} &= \frac{\gamma}{j\omega\epsilon} = \frac{\beta}{\omega\epsilon} \end{aligned} \right.$$

Por lo tanto:

$$Z_D = Z_0 \operatorname{th}(\gamma L_2)$$

$$= j Z_0 \tan(\beta L_2)$$

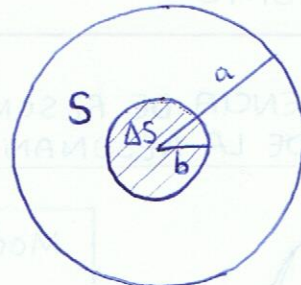
$$= j \cdot \frac{\sqrt{\omega^2 \mu \epsilon - (p_{01}/a)^2}}{\omega \epsilon} \cdot \tan\left(\sqrt{\omega^2 \mu \epsilon - (p_{01}/a)^2} L_2\right),$$

$$Z_D(j, a, L_2)$$

Sección con dielectrónico

Se analiza con
Teoría Perturbacional

El dielectrónico introduce
un cambio $\gamma \rightarrow \gamma' = \alpha' + j\beta'$
que viene dado por:



$$\alpha \approx \alpha_0 + \frac{\epsilon_0 \epsilon''}{\omega} \frac{\omega \int_{\Delta S} E_0^* \cdot E \, dS}{2 \int_S (E_0^* \times H_0) \, dS}$$

$$\beta \approx \beta_0 + \frac{\epsilon_0 (\epsilon' - 1)}{\sqrt{\omega^2 \mu \epsilon - (p_{01}/a)^2}} \frac{\omega \int_{\Delta S} E_0^* \cdot E \, dS}{2 \int_S (E_0^* \times H_0) \, dS}$$

Tal que $\gamma' = \alpha' + \beta'$
 $Z_0' = \frac{\gamma'}{j\omega \epsilon} \leftarrow \text{¿cuál tomo??}$

De forma que

$$Z_I = Z_0' \operatorname{th}(\gamma' L_1)$$

Cálculo de las integrales

$$\int_S (E_0^* \times H_0) \, dS = \int_S A^2 \left[\frac{\omega \epsilon \beta}{k_c^2} J_1^2(k_c p) \hat{z} + \frac{-j\beta}{k_c} J_0(k_c p) J_1(k_c p) \hat{p} \right] \cdot p \, dp \, d\varphi \hat{z}$$

duda:
Producto
Escalar
Tomo solo
comp en z
de $E_0 \times H_0$??

problema:
se anula
en TM₀₁₀!!

Hay que usar los
campos del TM₀₁ (sí tiene E_p)
(estamos analizando
la guía, no el resonador)

$$= A^2 \frac{\omega \epsilon \beta}{k_c^2} \int_0^{2\pi} \int_0^a p \cdot J_1^2(k_c p) \, dp \, d\varphi$$

$$= A^2 \frac{\omega \epsilon \beta}{k_c^2} \cdot 2\pi \cdot \left[\frac{1}{2} p^2 (J_1^2(k_c p) - J_0(k_c p) J_2(k_c p)) \right]_0^a$$

$$\text{en } p=0 \rightarrow J_1, J_2 = 0$$

$$\text{en } p=a \rightarrow k_c \cdot a = p_{01}$$

$$J_0(k_c \cdot a) = 0$$

$$= A^2 \cdot \frac{\omega \epsilon \beta}{k_c^2} \cdot \pi a^2 J_1^2(p_{01})$$

duda E?

$$\int_{\Delta S} (E_0^* \cdot E) \, dS \stackrel{?}{=} \int_{\Delta S} (E_0^* \cdot E_0) \, dS = \int_{\Delta S} |E_0|^2 \, dS$$

$$= A^2 \cdot \int_{\Delta S} (J_0(k_c p) \hat{z} - \frac{j\beta}{k_c} J_1(k_c p) \hat{p}) \cdot (J_0(k_c p) \hat{z} + \frac{j\beta}{k_c} J_1(k_c p) \hat{p}) \, dS$$

$$= A^2 \int_0^{2\pi} \int_0^b (J_0^2(k_c p) + \frac{\beta^2}{k_c^2} J_1^2(k_c p)) \, p \, dp \, d\varphi$$

$$= A^2 \cdot 2\pi \cdot \left[\frac{1}{2} p^2 \left[(J_0^2(k_c p) + J_1^2(k_c p)) + \frac{\beta^2}{k_c^2} (J_1^2(k_c p) - J_0(k_c p) J_2(k_c p)) \right] \right]_0^a$$

$$= A^2 \cdot \pi b^2 \left[\underbrace{(1 + \frac{\beta^2}{k_c^2})}_{(\frac{k}{k_c})^2} J_1^2(p_{01} \frac{b}{a}) + J_0(p_{01} \frac{b}{a}) \left(J_0(p_{01} \frac{b}{a}) - \frac{\beta^2}{k_c^2} J_2(p_{01} \frac{b}{a}) \right) \right]$$

TEMA 3. SENSORES DE MICROONDAS

Tipos de sensores

Sensores basados en ondas electromagnéticas

• Ventajas de μ_0 y Desventajas respecto a los μ_0

- Resistivos] medir R y C
- Capacitivos] sensibles a huecos de aire
- les afecta la conductividad DC (ej contenido de iones)

• Microondas : penetra en todo el volumen, no sólo la superficie
buen contraste entre agua y otros materiales
(para medir humedad)

• inherentemente estables porque la freq de resonancia depende de las dimensiones

• insensible a condiciones medioambientales : agua, polvo (IR), temperaturas (semicond.)
a diferencia de

• no ionizantes (no peligrosas)

• rápidos

• no afectar al material bajo test

• Infrarrojos ópticos] afectados por polvo y agua ambiental

• ultravioleta] peligrosos (ionizantes)

• Rayos X]

• Rayos gamma] radiación es estadística → requiere promediar → lentes

Desventajas de los sensores de μ_0

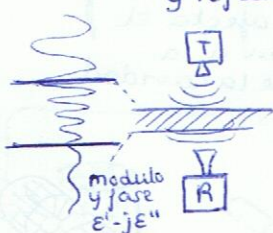
- más caros a mayor frecuencia
- diseñados y calibrados para CADA aplicación y material (no generales)
- baja aplicabilidad universal
- sensibles a más de una variable, requiere desambiguar
- resolución espacial limitada por λ

Problemas superados por μ_0

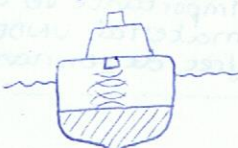
- Tecnología se abarata para < 3 GHz
- Materiales: conocimiento fuerte
- Sistemas sensores: cálculo y simulación de los problemas ya posible

Tipos de sensores μ_0 → (parametros [s], radar, resonadores, radiométricos, activos, especiales)

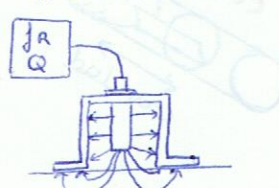
• Transmisión y reflexión



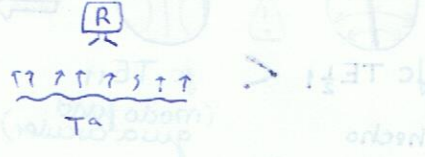
• Tipo Radar
ej: Petrolero



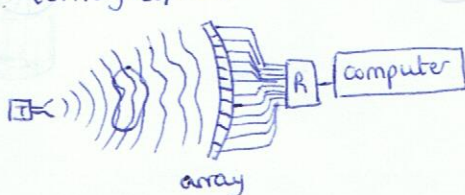
• Resonadores



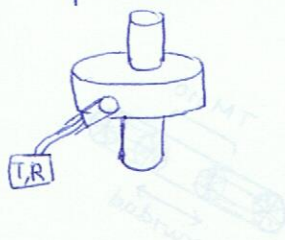
• Radiometros
(sólo recibir)



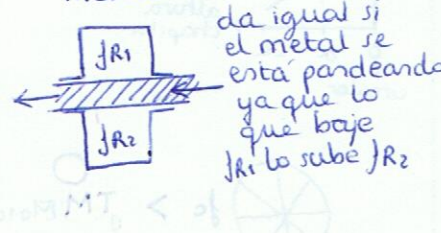
• tomográficos



• Open resonators

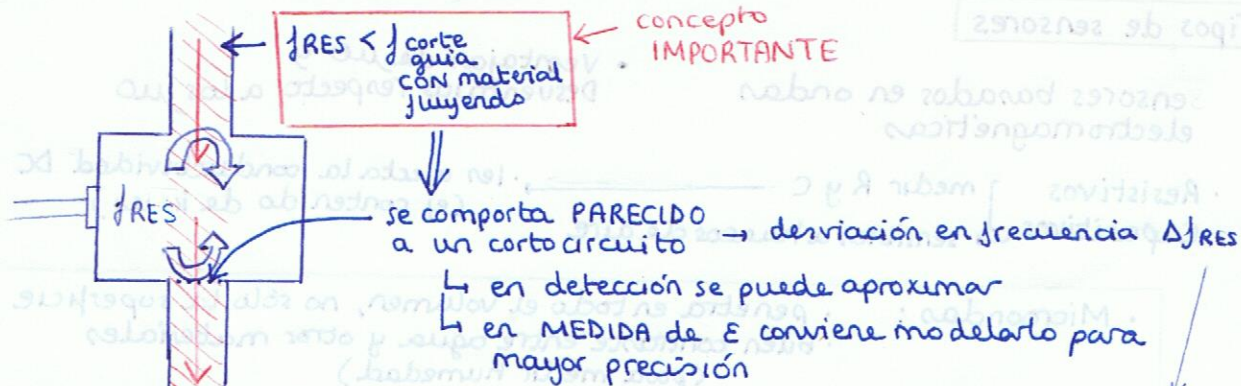


→ ej: medir grosor de metal



SENSORES UNDER FLOW

TEMA 6. SENSORES DE MICROONDAS



$$f_{RES} \text{ de cavidad } k = 2n/\lambda$$

$$f_{RES} = \frac{c}{2\pi} \sqrt{k_c^2 + \beta^2} \quad p \frac{\pi}{d}$$

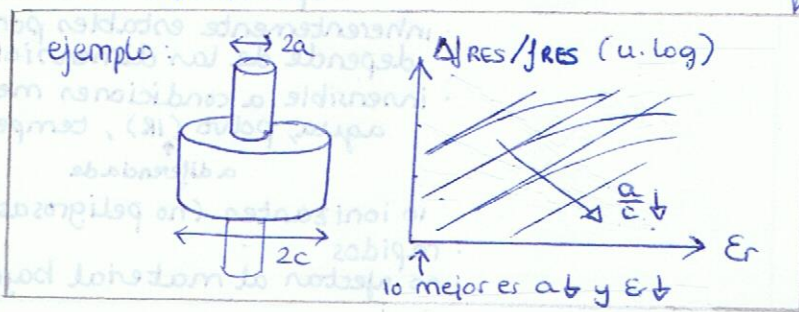
recuerda

$$k_c = \sqrt{\left(\frac{m\pi}{a}\right)^2 + \left(\frac{n\pi}{b}\right)^2}$$

$$\beta = \frac{ck_c}{2\pi}$$

$$k_c TM = \frac{p\pi l}{a} \rightarrow \text{anularse } E_z \text{ en metal}$$

$$k_c TE = \frac{p'\pi l}{a} \rightarrow \frac{\partial H}{\partial a} = 0 \text{ en metal}$$

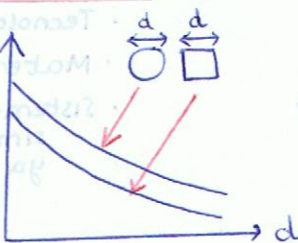


Hay que manejar bien con las frecuencias de corte en guías

- Si usamos resonancia TM₀₁₀, podemos hacer cavidad muy baja (y tendremos TM₀₁₀ como primer modo muy alejado de los siguientes). La f_{RES} será la de corte de TM₀₁ (ya que p=0, β=0)



Guías circulares y cuadrada



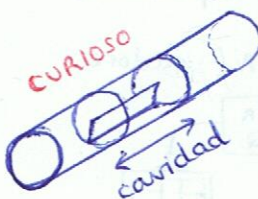
Guías sectoriales



de hecho



$f_c < f_c TE_{11}$
(modo fund. guía circular)



CURVOSO

cavidad

recuerda
en TM₀₁₀

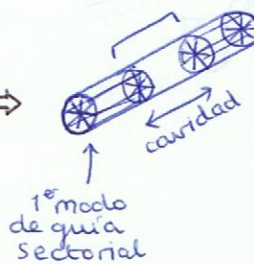
Frec corte = Frec resonancia

Importante ver como afecta el material UNDER FLOW a la freq. de resonancia de la cavidad



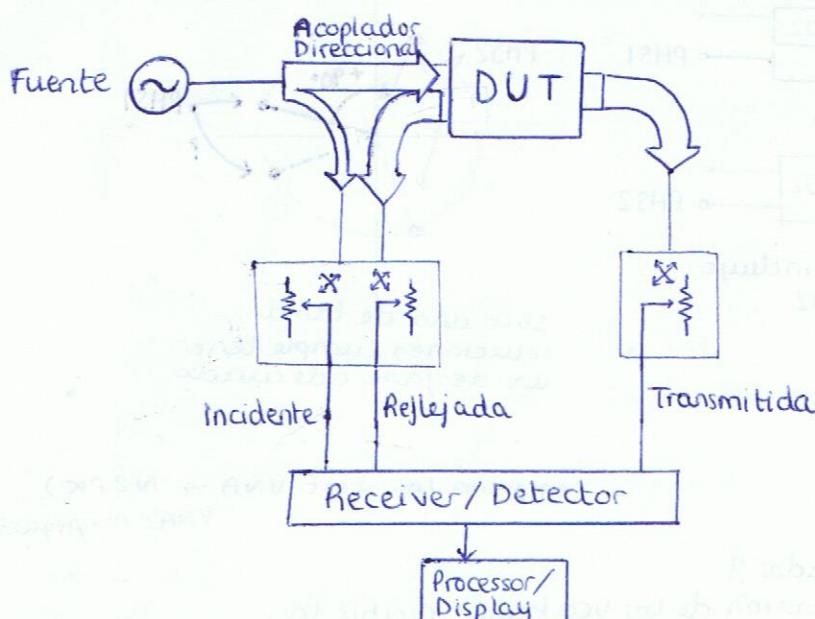
$f_c > f_c TM_{010}$

f_c del primer modo
aparece DESPUES del
TE₁₁ en guía circular
(al revés que la chapita)

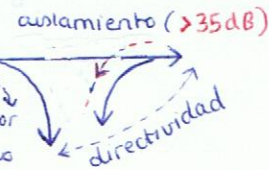


1º modo
de guía
sectorial

ANALIZADOR DE REDES VECTORIAL



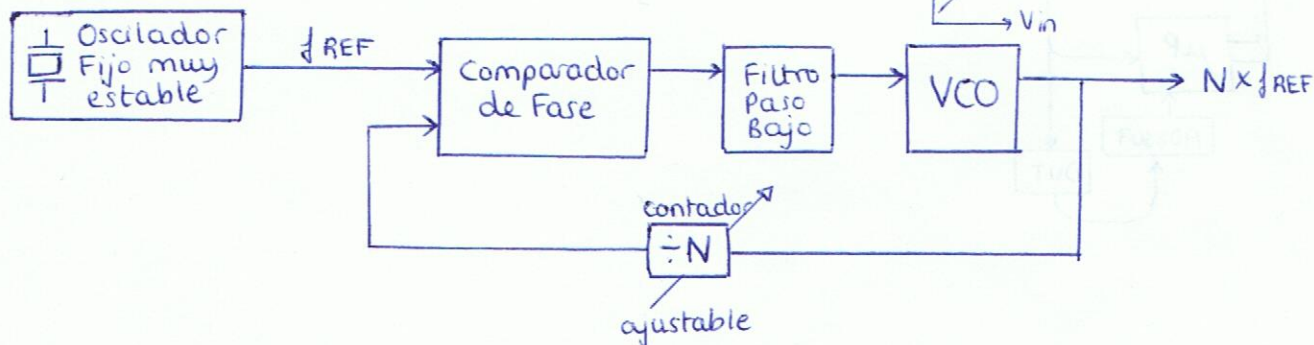
• Acoplador direccional



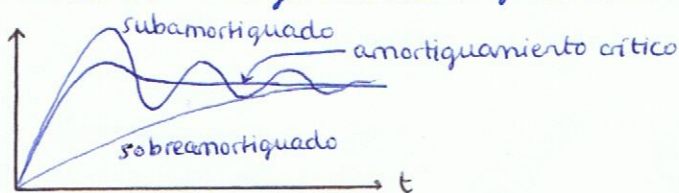
Fuente:

La fuente debe 'barrer' un rango de frecuencias.

se usa un VCO en montaje PLL → resolución de hasta 0'1Hz
→ frecuencia ajustable (más de 2'5 décadas)

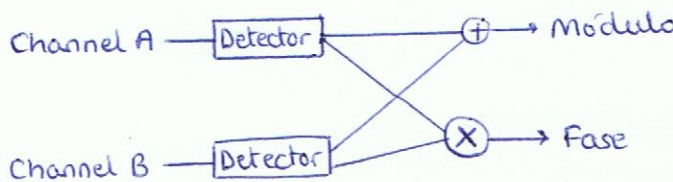


Según el filtro que se use, la velocidad de convergencia de la frecuencia variará considerablemente (puede tardar hasta 50 veces más) lo cual determinará la velocidad del barrido



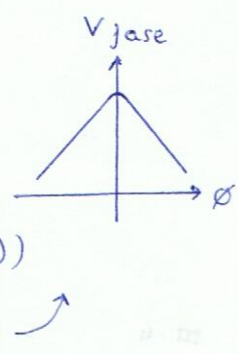
Receptor / Detector

- Tipicamente convierten a FI y obtienen el módulo y fase
 - Ultimamente el C.I. barato AD8302 RF está desbancando a los tradicionales Analog Devices
- Mide módulo y fase hasta 2'7 GHz

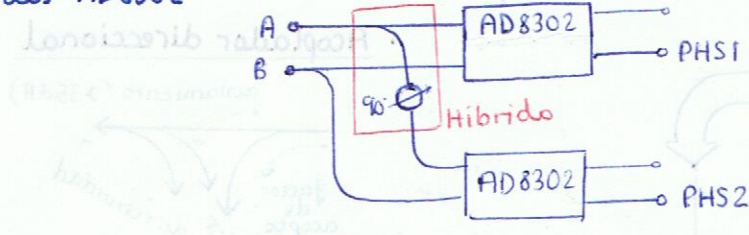


$$\begin{aligned} & A \cos(\omega t + \phi) + B \cos(\omega t) \\ & = AB (\cos(\phi) + \cos(2\omega t + \phi)) \end{aligned}$$

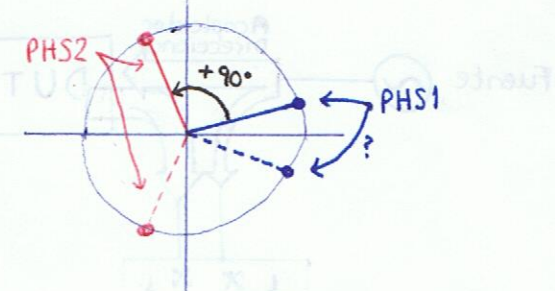
↑ se juntan
no distingue signo!



Para deshacer la ambigüedad en el signo de la fase, se pueden usar dos AD8302



El AD8307 ya incluye los dos AD8302



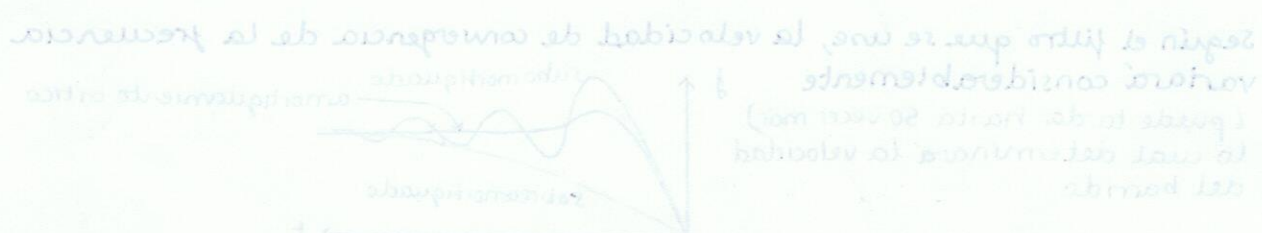
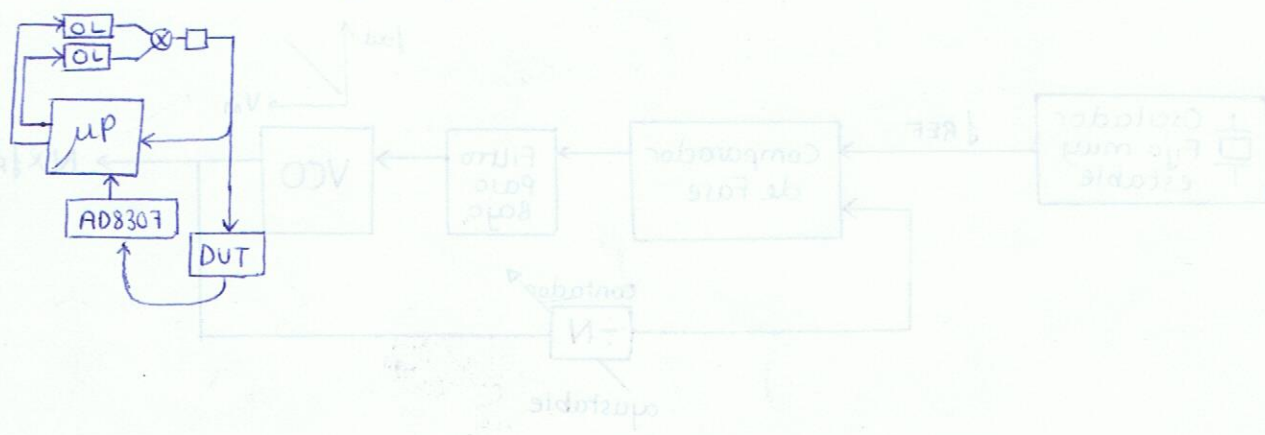
sólo una de las dos soluciones cumple tener un desfase adecuado

(empresa low-cost VNA → N2PK)

VNA's muy pequeños

Example of Low-Cost VNA

- El PLL se hace con el microprocesador!! (el µP va modificando la tensión de los VCO hasta recibir la frecuencia adecuada)
- Ya que no hay VCO de 0 a 10GHz (muchas décadas) usamos DOS VCO de 4 a 8GHz y los mezclamos para obtener la resta



Accesso \ Despejar

También se usa el AD8305 para deshacer la ambigüedad de fase. Se conecta entre el LO y el amplificador de señal.



$$\begin{aligned} & ((\alpha + j\beta) z_{AB} + (\gamma + j\delta) z_{AC}) B \\ & ((\alpha + j\beta) z_{AB} + (\gamma + j\delta) z_{AC}) B A = \end{aligned}$$

